

# ボーリング掘進記録と軟質岩盤の性質

東京大学 工学部資源開発工学科

正会員 小島主二

## まえがき

従来調査用ボーリングでは、掘り易いビットで、少しだけ掘進条件を加えることにより、コアが採れづらさず能率が上がるよう努力が払われてきました。ここでは概念を裏返して、ボーリング 자체を測定と考え、むしろ掘れにくくビットで掘進条件を一定にして詳細な掘進記録をとり、岩盤とビットの相互作用から地質情報を引き出すことを試みた。

## 1. 掘進記録と岩の性質 — 室内試験

掘進記録はグレードビットなど、コアボーリングによる方法とコア採取の際についでに得る方法がある。前者は短時間に比較的簡単な操作で地質情報を推定されるが、コア試験に不向きのようないくつかの情報が失われる。逆に後者ではセンサリニケで通じた掘進条件が強いから掘進記録による情報への制約される。ここでは確実な掘進記録を得て地質との相関を追求する立場から主として前者の方法を試みた。

このため、掘れやすい、形が簡単でビット圧の算出や破壊機構を考え易いグレードビットを試作した。写真1に示すように長方形断面の刃を持つ三枚羽グレードビットである。室内実験には46mmφを使用した。

削孔中に得られる掘進情報は、掘進長および速度(掘進率)、トルク、給圧(ビット荷重)、回転数・送水ポンプの圧と送水量および掘削水の性質などの諸量である。地質情報は掘進速度やトルクに反映され、ビットの種類・形状を含む他の諸条件を一定にしたときのビット荷重との関係から力学量を推定する方法が良く用いられる。<sup>(1)</sup>

### 1.1 掘進速度と岩の性質

図1は主として千葉県下の砂岩・泥岩についての例を示す。W/Sはビット圧、R/Nは1回転当たりの掘進長を示す。それこれらの曲線は図中に例示した①、②の2直線で近似される。概念的にいえば①ではすりへりによる掘進が、②では孔底破壊を伴う掘進がおこなわれる範囲と考えられる。従って①から②の領域への変換時のビット圧は地盤の強度に直接関係がけられると予想される。

ロータリーボーリングにおける孔底の破壊機構は複雑であるが、Robinson(1958)<sup>(4)</sup>によると、清水掘りの場合掘進速度は三軸試験における破壊強度(最大軸差応力)に直接関係し、砂岩のように多孔質岩石では孔底近傍(孔底岩石の掘削は1回転当たりせいぜい数mmの場合が多い)での固圧と孔底地盤の拘束水圧



写真1 試作した三枚羽グレードビット



写真2 現場試験を行なった軟質岩盤(砂泥層), 崖の高さは約35m

以上がほど等しい状態となり、この場合最大軸差応力は $\sigma_3$ によってほとんど変わらない。従って孔底の破壊が主としてせん断によるところと掘進速度は内部摩擦角の要素に關係なく、粘着力要素 $C$ または一軸圧縮強度 $q_u$ に關係するものと考えられる。以上の見解に基いて強度の代表として測定しやすい孔をとり、図1の各曲線の $W_c/S$ より関係を求めると図2となり良好な相関が認められる。

### 1.2 トルクと岩の性質

トルクとピット荷重の関係には、掘進速度における $W_c/S$ に相当する屈曲点は認められず、図3の $T_m$ のように、 $T = CW$  ( $T$ はトルク,  $C$ は定数) の関係が見出される。 $C$ は岩の性質によって異なり、図1の曲線①②を直線で近似すれば、それそれの領域で $R/N$ と $T$ はほど直線関係を示す。そして $W$ 一定の場合岩が軟らかければ $T$ が大になり、 $R/N$ が一定なら岩が硬いほど $T$ が大きい。しかしトルクは掘進速度に較べ、機械またヤスライムの量、質、孔壁また孔底の岩質以外の要素に影響されやすく、一般にばくつ系数が大きい。

しかし図3に1例を示すように、掘進中のトルクを連続記録して、変動や $\Delta T$ に着目するとあるピット荷重 $W_t$ 以上で急増し、 $W_c/S$ は $W_c/S$ にほど等しくなる。 $\Delta T$ はピット荷重によって岩にくり込んだ刃先が、周囲の岩を回転によって排除する際に生ずる摩擦寄与分のトルク、 $T_m$ は排除した直後の岩との摩擦寄与分のトルクと考えられる。また1回転当たりの掘進長から判断しても、 $W < W_t$ ではせいぜい個々の粒子をはがすか、すりつぶす程度の掘進であるが、 $W > W_t$ では岩塊として破壊掘進する程度になる。そして $W_t$ を過ぎると掘りくずの粒度があらくなる。したがって $\Delta T$ の急増は $W_c/S$ を境に破壊掘進へ卓越することを意味し、 $W_c/S$ に対応すると考えられる。しかし強度との相関は上述したように $W_c/S$ よりばくつ系数が大きい。エラに $T_m$ が摩擦寄与分のトルクと考えれば、表1のようになじ摩擦係数相当量 $M$ が求められる。表の砂と泥の間に明瞭な相違が認められる。これが直ちに岩相の識別に役立つと見るのは早計であるが検討すべき事項である。

### 2. 掘進記録による軟質岩盤の評価

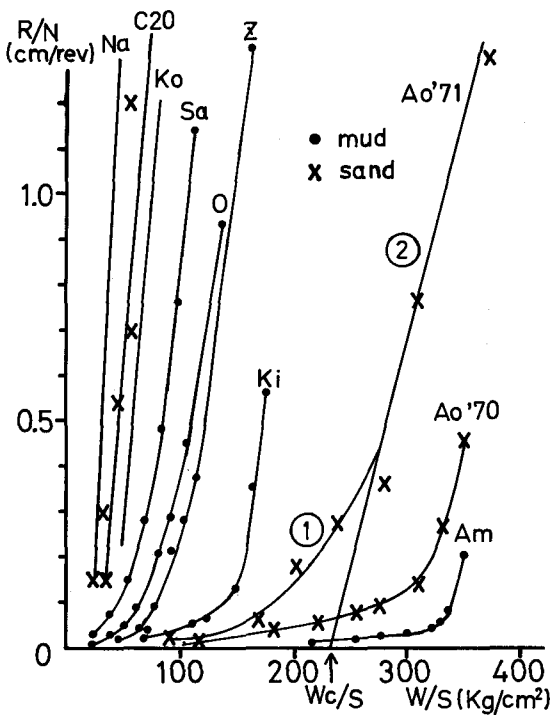


図1 東京湾周辺の試料を中心とした、掘進率～ピット圧曲線、 $W_c/S$ はそれそれの②のX軸切片

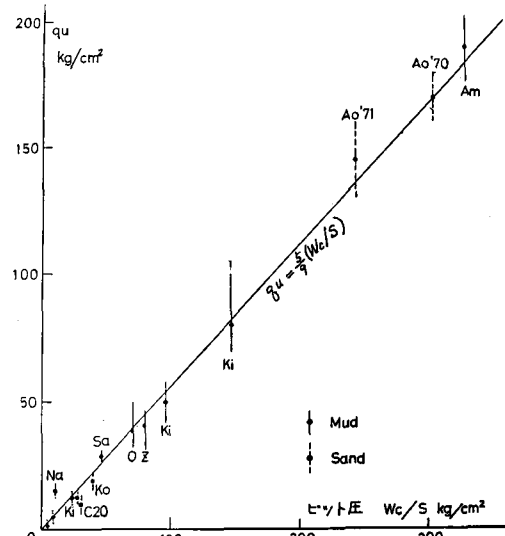


図2 同一軸圧縮強度 $q_u$ と $W_c/S$ の関係  
(記号は表1参照)

上記の方法を、岩片の性質と岩盤の性質比較的良く一致する軟質岩盤で試みた。試験地質の地質は、千葉県下の上部層群中の砂泥互层である(写真2)。泥岩は一般に均質で所々に貝殻が散在する。一軸圧縮強度 $\sigma_u$ は、 $50 \sim 100 \text{ kg/cm}^2$ の間をばらつく。砂岩は pumice・scoria や貝片が散在する細～粗粒砂で粘着力が小さい。砂介が多いため $\sigma_u$ は数  $\text{kg/cm}^2$ 、pumice が多く粘着力が大きいもので $10 \sim 15 \text{ kg/cm}^2$ 程度である。

試験は、掘進長 50m、孔径 86mm の孔を直線上へ 1.5m ずつはさみて 3 本削孔し、1 号孔はサンアリーニング孔、2 号孔は掘進率曲線 (R/N ~ W/S) を求めたもの(トルクは計器の故障で求められなかった)、3 号孔は掘進記録による調査の実用試験に用いた。2, 3 号孔の掘進は写真 1 の 86mm φ ブレードビットを使用し、掘進記録は全て自己記録させた。<sup>(2)</sup> また削孔後それをもとにして各種物理検査を実施した。

2 号孔の試験により図 4 が得られた。これから  $W_c/S$  を求め図 2 と同様に圧縮強度との関係をプロットすると、測定数が少ないので  $R/N$  分の掘進記録に対するコアの圧縮強度は数個の試料で代表させていることによると思われるばらつきはあるものの、かなり良い相関が認められる。また図 4 に示したように掘進率の測定には 3通りの方法が考えられる。岩盤硬さに大きなばらつきがある岩盤では、図からやがてのように上乗の  $W_c/S$  による方法か、 $R/N$  を一定にする掘進方法が必要である。前者は測定手順が複雑であり、後者は掘進の操作がおずかしく不可能に近い。そこで、この実験のように硬さのばらつきが  $\sigma_u$  に対してせいぜい  $10^1$  程度の岩盤に対しては、ビット荷重を一定にしてときの  $R/N$  を求めるのが測定もしやすく賢明である。図 5 は以上の立場から  $W_c/S = 110 \text{ kg/cm}^2$  (一定) で掘進して 3 号孔の資料を中心的に得られた  $\sigma_u$  と  $R/N$  の関係であり良好な相関が見出せる。但しこの関係は指標測定数であるから、相対的に岩盤固有の  $R/N$  の精度に難があり、したがって測定に用いる  $W_c/S$  の選定が難しい。今回の実験でも孔の大さり泥岩のはうつ玉が大きく、 $W_c/S$  を変えて図 5 の関係式の再検討が必要と思われる。

さて今回の実験のように岩種が砂岩・泥岩互層で比較的単純の場合、図 5 からもわかるように一軸圧縮強度は岩相に関係するから、掘進率から岩相の判断が可能である。この実験でもコア観察や物理検査などの結果と比較

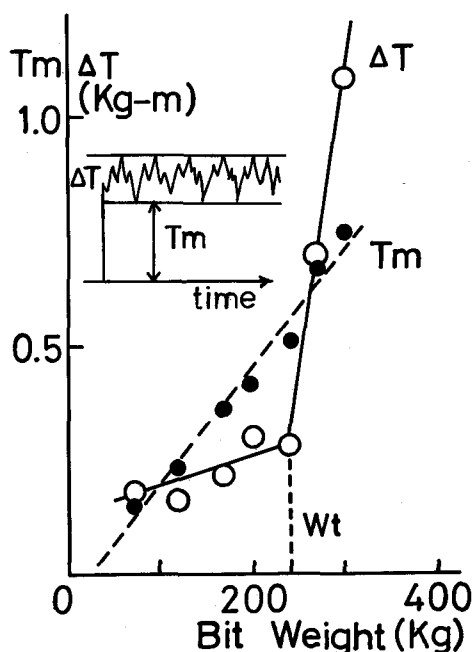


図3 トルク～ビット荷重曲線の一例  
還子層泥岩 ( $\sigma_u = 40 \text{ kg/cm}^2$ )

Formation, Facies	$\mu = T_m/rw$
C20 River sand (cement 20%) A	0.33
$d_{50}$ 0.32mm, $U_c$ 3.0	
C20 River sand (cement 20%) B	0.32
C20 River sand (cement 20%) C	0.38
O Onahama tuff. sandstone	0.28
Na Nagahama sandstone	0.30
Ao'71 Aoishi tuff. ss.	0.46
Ao'70 Aoishi tuff. ss.	0.40
Sa Sanuki mudstone	0.25
O Ofuna mudstone	0.23
Z Zushi mudstone	0.15
Ki Kiwada mudstone	0.15
Am Amatsu mudstone	0.26
Ho Hota mudstone	0.16

$\mu$ : 動摩擦係数,  $r$ : ビット(等価)半径,  $W$ : ビット荷重  
 $T_m$ : トルク下限,  $\Delta T$ : トルク上限一下限

表1  $T_m$  から求めた砂岩・泥岩の動摩擦係数

すると、マイクロログ（電極間隔数cmの孔壁接触型電気炉）よりも良り精度で成層状態を表示し得ることが判明した。<sup>(2)</sup>

なみ掘進に当っては、強度との相関を高くするため清木振りが望ましいが、逆にスライムの排出が難しく充分な排水が必要である。しかし硬や割目の多い岩では、これが致命的な難点となるから、このような場合にはコアピットによる測定に切換えるなどの対策が必要で、今後の検討が望まれる。

以上の方法で物理検層を組合せることによつて、深度に関して連続かつ迅速に、種々の地質情報を求められる。

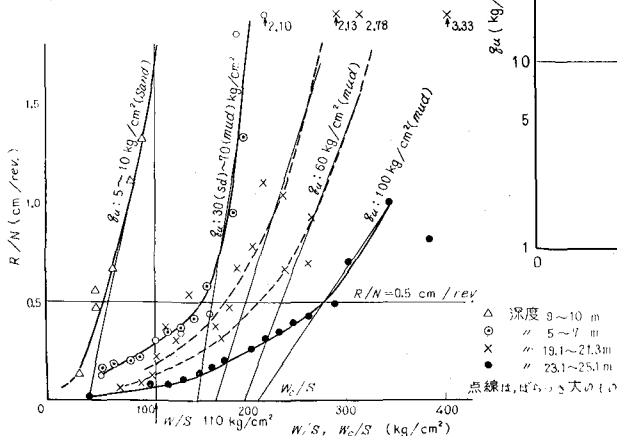


図4 掘進率からW/Sを求める現場試験

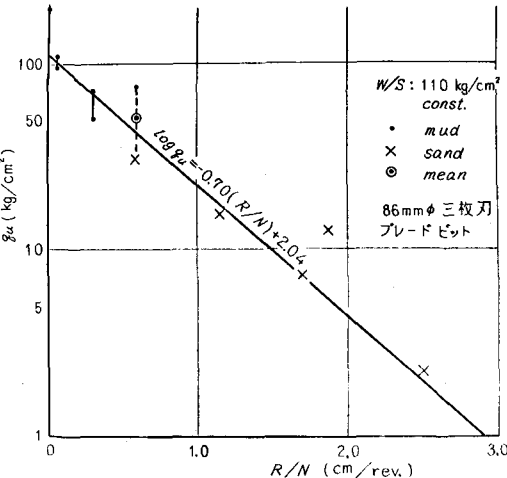


図5 W/S一定のときの一軸圧縮強度 $g_u$   
と掘進率の関係（現場試験）

図6に密度検尺と組合せた本実験での解析システムを示す。検層値から間隙率、密度などの物理量が、掘進率から強度の代表値が得られ、図に示す手順で粘着力C、弾性係数Eなどの力学量が推定される。また岩相が個別的に求まる。岩相の推定はトルクの測定にも期待されることは前述の通りである。図6中のE～g\_uの式は、この実験試料を得た東京湾周辺地域の軟岩コアに関するものであり、密度検層のRL～CPMの式は、ボーリングコアでカリブレーションしたものです。

さうに図6の関係式の係数は、掘進条件やピットの形状・寸法などによって異なるから、このようなシステム化に当っては標準試験 (=340cm<sup>3</sup>)による複数の統一がどうしても必要となる。

#### 引用文献

- 1) Bingham, M.G. (1965) Rock Drillability, Oil and Gas Jour. Technical Manual.
- 2) 小畠圭二 (1972) ボーリングの掘進性能による軟岩地盤強度の推定, 土木技術資料 Vol.14, No.12.
- 3) 大庭英彦・山田龍司 (1971), 池倉文雄 (1972) ボーリングによる軟岩の工学的性質の研究, 東京大学工学部半論
- 4) Robinson, L.H. (1958) Effect of Pore and Confining pressures on Failure Characteristics of Sedimentary Rocks, AIME Petroleum Transactions Reprint Series 6.

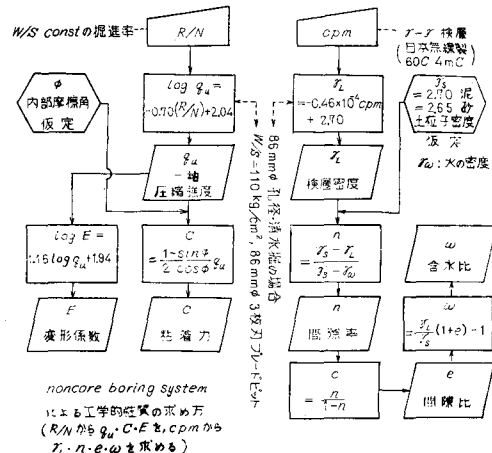


図6 ニッパボーリング情報の解析システム例

RELATION BETWEEN DRILLABILITY AND SOME PROPERTIES  
OF SOFT ROCK FOUNDATION

KEIJI KOJIMA Mineral Development Eng.  
University of Tokyo

Following experiments on drillability were made in order to estimate some properties of soft rock foundation.

1. Some blade bits with three rectangular teeth in section were made for trial to get easily precise geomechanical information.
2. Fundamental laboratory tests were performed. How penetration rate and torque are related to rock properties was made for experiment.

In regard to penetration rate,  $W_c/S$  (bit pressure intercept in Fig. 1) was obtained from each 'penetration rate- bit pressure' curve on various sandstones and mudstones with different hardness. The correlation was observed between  $W_c/S$  and rock strength.

In regard to torque,  $\Delta T$  increases rapidly above a certain bit pressure  $W_t/S$  when we take note of  $\Delta T$ , the difference between minimum and maximum values in the continuous record of torque. And  $W_t/S$  almost coincides with  $W_c/S$ .  $\Delta T$  is thought to result in drag and  $T_m$  in friction. A kind of coefficient of kinetic friction  $\mu$  was calculated from the value of  $T_m$ . Sand and mud can be distinguished clearly by the value of  $\mu$ . Then the value is expected to be used as an index of rock facies.

3. In situ tests were tried in the soft rock foundation and the value for practical usage was well recognized. Physical logging after drilling survey is also very useful.